

31/1 - 71

Г-859

ОБЪЕДИНЕННЫЙ  
ИНСТИТУТ  
ЯДЕРНЫХ  
ИССЛЕДОВАНИЙ

Дубна

1383/2-71



P1 - 5648

В.Г. Гришин, Г.И. Копылов, М.И. Подгорецкий

МНОГОПОРЯДКА ВЫСОКИХ ЭНЕРГИЙ

ИНТЕРФЕРЕНЦИЯ ЧАСТИЦ  
В ПРОЦЕССАХ  
С УЧАСТИЕМ ВОЗБУЖДЕННЫХ ЯДЕР

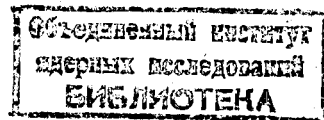
1971

P1 - 5648

В.Г. Гришин, Г.И. Копылов, М.И. Подгорецкий

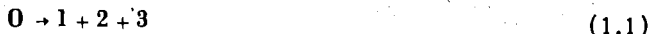
ИНТЕРФЕРЕНЦИЯ ЧАСТИЦ  
В ПРОЦЕССАХ  
С УЧАСТИЕМ ВОЗБУЖДЕННЫХ ЯДЕР

Направлено в ЯФ

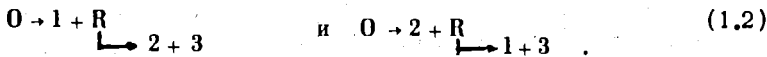


## §1. Введение

В работе<sup>1/</sup> была рассмотрена интерференция тождественных частиц 1,2 в таких процессах, в которых каждая из этих частиц может образовывать резонанс R с третьей частицей. В этом случае основные черты реакции



определяются суммой амплитуд двух возможных каналов



Здесь и далее символ 0 обозначает всю систему частиц в целом.

Было показано, что когда ширина резонанса достаточно мала<sup>x/</sup> и эффективные массы пар частиц 1,3; 2,3; 1,2 удовлетворяют условиям

<sup>x/</sup> Если отношение  $\Gamma_R / Q_0 \ll 1$ , где  $Q_0$  – энерговыделение в реакции (1.2), то амплитуды рождения резонансов мало меняются при изменении их импульсов в пределах  $|\Delta p_R| \sim \Gamma_R$ . Именно в этом предположении и рассматриваются интерференционные эффекты в работе<sup>1/</sup>.

$$m_{13} \approx M_R, \quad m_{23} \approx M_R, \quad m_{12} \approx 2m, \quad (1.3)$$

величина

$$\rho = -\frac{1}{2} (m_{13}^2 - m_{23}^2) \quad (1.4)$$

распределена по закону

$$W(\rho) \approx 1 \pm [1 + (\rho / M_R \Gamma_R)^2]^{-1}. \quad (1.5)$$

Здесь  $M_R$  — масса резонанса и  $m$  — масса одной из тождественных частиц. Знак "+" в (1.5) отвечает случаю бесспиновых частиц, для частиц со спином выбор знака определяется полным спином системы (1.2). Выражение (1.5) получено после усреднения вероятности процесса (1.2) по величине

$$\sigma = \frac{1}{2} (m_0^2 - m_{12}^2 - 2M_R^2 + 2m^2 + m_3^2). \quad (1.6)$$

Таким образом, для достаточно узких резонансов можно наблюдать интерференционные явления (в распределении по величине  $\rho$ ), характерные черты которых не зависят от механизма реакций (1.2) и определяются только шириной резонанса  $\Gamma_R$ . Условия наблюдения хорошо выполняются в процессах с участием возбужденных ядер, где  $\Gamma_R \sim 0,01-0,1$  Мэв, а энерговыделение  $Q_0$  составляет несколько Мэв. Кроме того, среди ядерных реакций часто встречаются такие, в которых резонансный канал

является доминирующим<sup>/2/</sup>, что предполагалось при выводе большей части соотношений в работе<sup>/1/</sup>. В связи с этим полученные в<sup>/1/</sup> результаты справедливы и для реакций с возбужденными ядрами. Отсюда, в частности, следует, что обсуждаемые интерференционные явления позволяют измерять ширину возбужденных состояний ядер. Вместе с тем эти реакции имеют ряд дополнительных особенностей, которые будут рассмотрены в §2. В §3 обсуждаются ядерные реакции, в которых аналогичные интерференционные явления имеют место для нетождественных частиц.

## §2. Интерференционные явления в системе "возбужденное ядро + частица"

Рассмотрим реакцию



которая идет по каналам (1.2). Здесь  $a$  – первичная падающая частица (нуклон,  $d$ ,  $\alpha$  и т.д.);  $b$  – ядро мишени;  $1,2$  – тождественные частицы с массой  $m$ ;  $3$  – образовавшееся ядро с массой  $m_3$ .

Сначала найдем интервал кинетической энергии падающей частицы ( $T_{a\min}^{min}$ ,  $T_{a\max}^{max}$ ), в котором можно наблюдать интерференционные эффекты (частица  $b$  поконится). Для этой цели воспользуемся известным соотношением

$$m_0^2 = m_{13}^2 + m_{23}^2 + m_{12}^2 - \sum_{i=1}^3 m_i^2 . \quad (2.2)$$

В нашем случае  $m_{13} \approx m_{23} \approx M_R$

$$m_0^2 \approx 2M_R^2 - \sum_{i=1}^3 m_i^2 + m_{12}^2. \quad (2.3)$$

С другой стороны,

$$m_0^2 = (m_a + m_b)^2 + 2m_b T_a. \quad (2.4)$$

Из (2.3) и (2.4) получим

$$T_a = \frac{1}{2m_b} [2M_R^2 - \sum_{i=1}^3 m_i^2 - (m_a + m_b)^2] + \frac{m_{12}^2}{2m_b}. \quad (2.5)$$

Из (2.5) легко найти  $T_a$  при  $m_{12} \approx 2m$  для любой конкретной реакции. Ясно, что указанное значение  $T_a$  является минимальным ( $T_a^{\min}$ ). Как отмечалось в работе<sup>1/</sup>, интерференция возможна и для больших значений  $m_{12}$ , если только  $m_{13} \approx m_{23} \approx M_R$ . Поэтому

$$T_a^{\max} = \frac{1}{2m_b} [2M_R^2 - \sum_{i=1}^3 m_i^2 - (m_a + m_b)^2] + \frac{(m_{12}^2)^{\min}}{2m_b}, \quad (2.6)$$

и ширина интервала энергий, в котором возможна интерференция, равна:

$$\Delta \equiv T_a^{\max} - T_a^{\min} = \frac{1}{2m_b} (m_{12}^{2\max} - m_{12}^{2\min}). \quad (2.7)$$

Значение  $m_{12}^{\min} \approx 2m$  соответствует такой конфигурации тождественных частиц в реакции (2.1), когда они имеют одинаковые по величине и направлению импульсы, а  $m_{12}^{\max}$  — конфигурации, в которой частицы 1,2 летят в противоположные стороны с одинаковыми энер-

гиями в с.ц.и. реакции (2.1). Можно показать, что  $M_{12}^{\max} = (M_R^2 - m_a^2 - m_b^2) / m_3$ . Подставляя эти значения  $m$  в (2.6) и (2.7), получим

$$T_a^{\min} = \frac{1}{2m_b} [(m_3 + 2m)^2 - (m_a + m_b)^2] + \frac{1}{m_b} [2(m_a + m_3)Q_R + Q_R^2] \approx \\ \approx T_a^{\text{пор}} + 2Q_R \frac{m_3 + m}{m_b} \quad (2.8)$$

$$\Delta \approx 4Q_R \frac{m}{m_b} \frac{m + m_3}{m_3}, \quad (2.9)$$

где  $Q_R = M_R - m_3 - m$ ,  $T_a^{\text{пор}}$  — пороговая энергия частицы  $a$  для реакции (2.1), идущей без образования резонанса  $R$ . Для очень тяжелых ядер, когда  $m/m_b \ll 1$ , из (2.8) вытекает естественный результат

$$T_a^{\min} - T_a^{\text{пор}} \approx 2Q_R. \quad (2.10)$$

В этих же условиях ширина интервала  $\Delta$  стремится к нулю и может оказаться меньше, чем ширина резонанса  $\Gamma_R$ . Такая ситуация потребовала бы специального рассмотрения. В случае легких ядер  $Q_R \approx 1-10$  Мэв,  $m/m_b > 1/20$  и  $\Delta \sim 0,1-1$  Мэв.

Итак, в указанном интервале энергий шириной  $\Delta$  для реакций типа (2.1) с участием возбужденных ядер будут иметь место интерференционные эффекты в распределениях по величине

$\rho$  при усреднении по  $m_{12}^2$  или  $m_0^2$ . Область, где существенна интерференция, определяется условием

$$y = \frac{\rho}{M_R \Gamma_R} \leq 1. \quad (2.11)$$

Рассмотрим подробнее зависимость величины  $y$  от характеристик частиц в лабораторной системе координат. Легко показать, что

$$y = \frac{1}{M_R \Gamma_R} [\omega_0 (\omega_1 - \omega_2) - \vec{p}_0 (\vec{p}_1 - \vec{p}_2)], \quad (2.12)$$

где  $\omega_1$ ,  $\vec{p}_1$  – энергии и импульсы частиц 1,2 и всей системы в целом. Введем единичные векторы  $\vec{e}_1$  в направлении импульсов частиц и  $\delta T = T_1 - T_2$ , где  $T_1$  – кинетические энергии тождественных частиц.

Тогда

$$y \approx \frac{\omega_0 \delta T}{M_R \Gamma_R} - \frac{p_0}{p_1} \frac{m}{M_R} \frac{\delta \Gamma}{\Gamma_R} \vec{e}_0 \cdot \vec{e} - \frac{2 p_0 p_1}{M_R \Gamma_R} \sin \psi_2 (\vec{e}_0 \cdot \vec{N}), \quad (2.13)$$

---

<sup>x/</sup> Величина  $T_a$  связана с  $m_0^2$  соотношением (2.4), т.е. усреднение по  $m_0^2$  равносильно усреднению по  $T_a$ . Отсюда, между прочим, следует, что рассматриваемые интерференционные явления имеют место и при немонохроматичности первичных частиц. Если в реакции имеются еще дополнительные частицы, то вместо усреднения по первичной энергии или по  $m_{12}^2$  можно проводить усреднение по энергиям и импульсам этих частиц. Разумеется, кинематические соотношения типа (2.8) и (2.9) соответствующим образом изменяются.

где  $\vec{N}$  и  $\vec{e}$  - единичные векторы в направлении ( $\vec{e}_1 - \vec{e}_2$ ) и ( $\vec{e}_1 + \vec{e}_2$ ), а  $\psi$  - угол между  $\vec{p}_1$  и  $\vec{p}_2$ . В перелятивистском случае можно положить  $\omega_0 = m_a + m_b$  и

$$y \approx \frac{m_a + m_b}{M_R} \frac{\delta T}{\Gamma_R} - \frac{p_0}{p_1} \frac{m}{M_R} \frac{\delta T}{\Gamma_R} \vec{e}_0 \cdot \vec{e} - \frac{2 p_0 p_1}{M_R \Gamma_R} \sin \frac{\psi}{2} (\vec{e}_0 \cdot \vec{N}). \quad (2.14)$$

Как видно из (2.14), в общем случае значение  $y$  определяется как энергетическими, так и угловыми характеристиками тождественных частиц в реакции (2.1). Поэтому для наблюдения эффекта необходимо измерять направления и величины импульсов частиц 1 и 2 в области  $y \leq 1$  и строить распределение  $W(y)$ .

Для реакций, в которых  $m/M_R \ll 1$ , второй член много меньше первого и

$$y \approx \frac{m_a + m_b}{M_R} \frac{\delta T}{\Gamma_R} - \frac{2 p_0 p_1}{M_R \Gamma_R} \sin \psi / 2 \cdot (\vec{e}_0 \cdot \vec{N}). \quad (2.15)$$

Отметим, что по сравнению со случаем образования резонансов в системе элементарных частиц (см. §3 в работе<sup>1/</sup>) первый член в (2.15) не зависит от скорости резонанса. Это связано просто с тем, что скорости возбужденных ядер малы.

<sup>x/</sup>

В частном случае при  $\psi \approx 0$  величина  $y$  также не зависит от импульса системы (1,2,3). Это утверждение справедливо и для более сложных реакций, в которых, кроме трех частиц, имеются еще дополнительные, не участвующие в образовании резонанса ядра. Отсюда следует, что и в таких процессах можно наблюдать интерференционный эффект, измеряя только  $\delta T$  при  $\psi \approx 0$ .

Оценим интервалы изменения  $\delta T$  и  $\delta\psi$  в области интерференции.

Из (2.15) следует, что полуширина распределения  $W(\rho)$  по  $\delta T$  составляет:

$$\delta T \approx \Gamma_R \cdot \left( \frac{m_a + m_b}{M_R} \right)^{-1}, \quad (2.16)$$

и для случая очень тяжелых ядер ( $M_R \gg m_a$ ) :

$$\delta T \approx \Gamma_R. \quad (2.17)$$

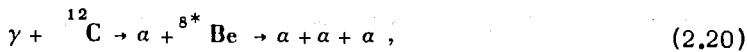
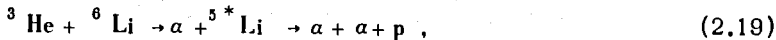
Для оценки полуширины распределения  $W(\rho)$  по  $\psi$  положим  $\psi \ll 1$  и  $p_1 \approx p_0/2$ , тогда условие наблюдения эффекта (2.11) приводит к соотношению

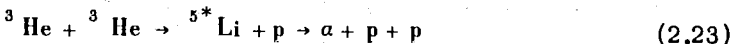
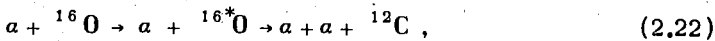
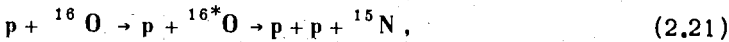
$$\delta\psi \approx M_R \Gamma_R / p_0^2. \quad (2.18)$$

Пропорциональность величины  $\delta\psi$  массе резонанса связана с тем обстоятельством, что распадные пробеги возбужденных ядер тем меньше, чем больше их масса <sup>1/2</sup>.

В реакциях с участием легких ядер значение  $\delta\psi$  составляет несколько градусов, и интерференционный пик может быть хорошо про- мерен в экспериментах.

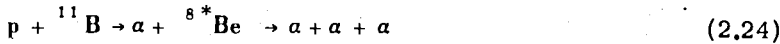
Примерами реакций, в которых в принципе можно было бы наблюдать обсуждаемые выше явления, являются:





и т.д. Эти реакции идут в основном по каналам с участием резонансов, у которых  $\Gamma_R \ll Q_R$ .

Итак, мы рассмотрели особенности интерференционных явлений в ядерных процессах с участием тождественных частиц и оценили пределы изменения как энергетических, так и угловых характеристик вторичных частиц в области интерференции ( $y \leq 1$ ). При этом везде предполагалось, что проводится усреднение по энергии падающей частицы Т<sub>р</sub> или по  $m_{12}^2$ . Только в этом случае справедливы формулы типа (1.5), приводящие к эффекту, величина которого не зависит от механизма реакции (2.1). Наблюдение интерференции в других условиях приводит к результатам, интерпретация которых сложна и связана с модельными представлениями. Так, в работе <sup>2/</sup> изучалась реакция

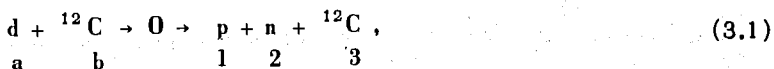


при  $T_p = 2,0; 2,65$  и  $3,25$  Мэв. Фиксировались углы вылета  $\theta_1, \theta_2$  двух  $\alpha$ -частиц и строились распределения по их кинетическим энергиям при определенной энергии первичного протона. Таким образом, в этом случае не было усреднения по  $m_{12}^2$  или  $T_p$ . В результате анализа, проведенного на основе различных модельных представлений о механизме реакции, авторы пришли к заключению о существовании сложной интерференционной картины, связанной с возбуждением состояния  ${}^{8*}Be$  ( $Q \approx 3$  Мэв,  $\Gamma_R \approx 1$  Мэв).

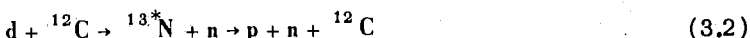
### §3. Два возбужденных состояния ядер в системе трех частиц

В предыдущем параграфе и в работе<sup>/1/</sup> были обсуждены интерференционные эффекты в системе трех частиц, из которых две являются тождественными. Перейдём к случаю, когда в системе из трех разных частиц могут возникать два возбужденных состояния, R и r. При этом также могут иметь место аналогичные интерференционные явления.

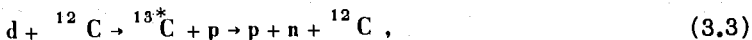
Рассмотрим для определенности конкретную реакцию:



которая может идти по двум каналам,



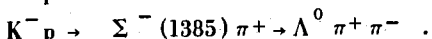
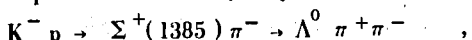
и



где  ${}^{13}N^*$  и  ${}^{13}C^*$  – возбужденные состояния соответствующих ядер<sup>x/</sup>. Амплитуда реакции имеет вид:

$$A \approx \frac{a}{m_{13}^2 - M_R^2 + iM_R\Gamma_R} + \frac{b}{m_{23}^2 - M_r^2 + iM_r\Gamma_r}. \quad (3.4)$$

<sup>x/</sup> В работе<sup>/3/</sup> обсуждается сходная ситуация применительно к реакции  $K^- p \rightarrow \Lambda \pi^+ \pi^-$ , идущей по каналам



Здесь  $M_{R,r}$  и  $\Gamma_{R,r}$  - массы и ширины резонансов  $R, r$ , а коэффициенты  $a$  и  $b$ , в отличие от случая тождественных частиц, не связаны между собой. Для достаточно узких резонансов ( $\Gamma \ll Q$ ) в области интерференции ( $m_{13} \approx M_R$ ,  $m_{23} \approx M_r$ ) значения  $a$  и  $b$  можно считать постоянными. Введем новые переменные:

$$2\rho' = 2\rho - M_R^2 + M_r^2 \quad (3.5)$$

и

$$2\sigma' = m_{13}^2 + m_{23}^2 - M_R^2 - M_r^2. \quad (3.6)$$

После интегрирования квадрата модуля амплитуды (3.4) по  $\sigma'$  получим распределение по  $\rho'$ :

$$W(\rho') = \frac{|a|^2}{M_R \Gamma_R} + \frac{|b|^2}{M_r \Gamma_r} + \frac{4}{M_R \Gamma_R + M_r \Gamma_r} \cdot \frac{\operatorname{Re}(ab^*) - \frac{2\rho' \operatorname{Im}(ab^*)}{M_R \Gamma_R + M_r \Gamma_r}}{1 + \left( \frac{2\rho'}{M_R \Gamma_R + M_r \Gamma_r} \right)^2} \quad (3.7) x/$$

Слагаемое с  $\operatorname{Im}(ab^*)$  можно исключить, если строить распределение по модулю  $\rho'$ :

---

<sup>x/</sup> Отметим, что (3.7), как и следовало ожидать, переходит в (1.5) при  $M_R = M_r$ ,  $\Gamma_R = \Gamma_r$  и  $a = b$ .

$$W(|\rho'|) \sim \frac{|\mathbf{a}|^2}{M_R \Gamma_R} + \frac{|\mathbf{b}|^2}{M_r \Gamma_r} + \frac{4}{M_R \Gamma_R + M_r \Gamma_r} \cdot \frac{\operatorname{Re}(ab^*)}{1 + \left( \frac{2\rho'}{M_R \Gamma_R + M_r \Gamma_r} \right)^2}. \quad (3.8)$$

Третий член в (3.8) соответствует интерференционному эффекту, который определяется суммой ширин резонансов, и его зависимость от  $|\rho'|$  аналогична зависимости от  $\rho$  в (1.5) для тождественных частиц.

Абсолютная величина эффекта определяется значением  $\operatorname{Re}(ab^*)$ , т.е. зависит от амплитуды рождения резонансов  $R$  и  $r$ . Таким образом, изучая спектр событий (3.1) по  $|\rho'|$  в области  $m_{13} \approx M_R$ ,  $m_{23} \approx M_r$ , можно определить ширины резонансов.

Для частного случая, когда  $a \approx b$ .

$$W(\rho') \sim 1 + \frac{4}{\left( \sqrt{\frac{M_r \Gamma_r}{M_R \Gamma_R}} + \sqrt{\frac{M_R \Gamma_R}{M_r \Gamma_r}} \right)^2} \cdot \frac{1}{1 + \left( \frac{2\rho'}{M_r \Gamma_r + M_R \Gamma_R} \right)^2}. \quad (3.9)$$

При  $\Gamma_R \gg \Gamma_r$  интерференционный член уменьшается:

$$W(\rho') \sim 1 + 4 \frac{M_r \Gamma_r}{M_R \Gamma_R} \cdot \frac{1}{1 + \left( \frac{2\rho'}{M_R \Gamma_R} \right)^2}. \quad (3.10)$$

Таким образом, интерференционный эффект определяется не совпадением масс резонансов, а соотношением ширин  $\Gamma_r$  и  $\Gamma_R$ .

Для получения распределений типа (3.7) – (3.10) опыты нужно ставить таким образом, чтобы происходило усреднение по  $T_a$  или  $m_{12}$  при  $m_{13} \approx M_R$  и  $m_{23} \approx M_r$ . Это становится возможным лишь начиная с энергии

<sup>x/</sup> Для возбужденных ядер  $M_r \approx M_R$ .

$$T_a^{\min} = T_a + \frac{M_R M_r}{m_3 m_b} (Q_R + Q_r - 2 \sqrt{\frac{Q_R Q_r m_1 m_2}{M_R M_r}}) \quad (3.11)$$

в интервале

$$\Delta \equiv T_a^{\max} - T_a^{\min} = \frac{4}{m_3 m_b} \sqrt{m_1 m_2 Q_R Q_r M_R M_r}, \quad (3.12)$$

где  $Q_R = M_R - m_3 - m_1$ ,  $Q_r = M_r - m_3 - m_2$  и  $T_a$  — пороговая энергия для реакции (3.1), идущей без образования резонансов<sup>x/</sup>. В частности, для каналов (3.2) и (3.3) с  $Q_{13}^*_{N} = 3,55$  Мэв и  $Q_{13}^*_{C} = 7,64$  Мэв интерференционный эффект возможен лишь для  $T_d^{\min} = 7,23$  Мэв ( $\Delta = 0,76$  Мэв). Реакция (3.1) изучалась в работе<sup>4/</sup>, но, к сожалению, при меньшей энергии ( $T_d = 5,39$  Мэв).

Область интерференции для реакций (3.2) и (3.3) определяется условием (см. (3.8))

$$y' = \frac{2\rho'}{M_R \Gamma_R + M_r \Gamma_r} \leq 1, \quad (3.13)$$

или, учитывая, что  $M_R \approx M_r$ , имеем:

$$y' \approx \frac{2}{M_R} \frac{\rho'}{\Gamma_R + \Gamma_r}. \quad (3.14)$$

<sup>x/</sup> Мы не приводим вывода формул (3.11) и (3.12). Отметим, что их удобно получить, рассматривая реакцию (3.1) в системе покоя частицы 3. При  $Q_R = Q_r$ ,  $M_R = M_r$  и  $m_1 = m_2$  эти формулы переходят в (2.8) и (2.9) соответственно.

В лабораторной системе координат

$$\rho' = \omega_0 (\omega_1 - \omega_2) - (\vec{p}_1 - \vec{p}_2) \cdot \vec{p}_0 - \frac{1}{2} (m_1^2 - m_2^2 + M_R^2 - M_r^2). \quad (3.15)$$

Формула (3.15) отличается от аналогичного выражения для  $\rho$  (2.12) только на постоянную величину  $c_1 = \frac{1}{2} (m_1^2 - m_2^2 + M_R^2 - M_r^2)$ , в которой учитывается разность масс резонансов  $R, r$  и частиц 1,2. Эта разница несущественна с точки зрения выводов, полученных в §2 относительно зависимости величины  $y$  от угловых и кинетических корреляций вторичных частиц, так как эти результаты связаны только с большой массой резонансов и нерелятивистским приближением. Действительно, и в этом случае  $\omega_0 \approx m_a + m_b$  и

$$y' \approx \frac{2}{M_R (\Gamma_R + \Gamma_r)} [(m_a + m_b) \delta T - \vec{p}_0 (\vec{p}_1 - \vec{p}_2) - c_1 + (m_a + m_b) (m_1 - m_2)]. \quad (3.16)$$

Полуширина распределения  $W(|\rho'|)$  в переменных  $\delta T$  будет составлять

$$\delta T \approx \frac{1}{2} (\Gamma_R + \Gamma_r) \frac{M_R}{m_a + m_b}$$

и не зависит от энергии налетающей частицы. Если  $M_R \gg m_a$ , то это переходит в

$$\delta T \approx \frac{1}{2} (\Gamma_R + \Gamma_r) \quad (3.17)$$

и не зависит также и от массы резонанса. Для оценки  $\delta \psi$  второй член в (3.16) перепишем в виде

$$\vec{p}_0 (\vec{p}_1 - \vec{p}_2) = p_0 |\vec{p}_1 - \vec{p}_2| \cos \theta \approx \frac{1}{2} p_0^2 \psi \cos \theta, \quad (3.18)$$

где  $\theta$  — угол между векторами  $\vec{p}_0$  и  $\vec{p}_1 - \vec{p}_2$ .

Из соотношения (3.13) имеем:

$$\delta\psi \approx M_R (\Gamma_R + \Gamma_r) / p_0^2, \quad (3.19)$$

что для реакций с легкими ядрами составляют величину в несколько градусов. Конкретно в реакции (3.1) с  $Q_{N^*} = 3,55$  Мэв,  $\Gamma_{N^*} = 61$  кэв и  $Q_{C^*} = 7,64$  Мэв,  $\Gamma_{C^*} = 55$  кэв при  $T_d = 7,23$  Мэв имеем  $\delta\psi \approx 58$  кэв и  $\delta\psi \approx 3^\circ$ .

Отметим, что в проведенном выше рассмотрении мы не анализировали зависимость коэффициентов  $a$  и  $b$  от спиновой структуры и динамики процесса (3.1). В некоторых случаях возможна частичная компенсация величины эффекта, поскольку интерференционный член в (3.8) может иметь разные знаки для триплетного и синглетного состояний системы  $n, p$ . Однако в общем случае такая компенсация не имеет места.

Пользуясь случаем, выражаем свою признательность В.Л. Любашину за многочисленные обсуждения и В.П. Рудакову, обратившему наше внимание на работу <sup>2/</sup>.

#### Литература

1. В.Г. Гришин, Г.И. Копылов, М.И. Подгорецкий. Сообщения ОИЯИ, Р1-5315, Дубна, 1970.
2. Conference on Correlations of Particles Emitted in Nuclear Reactions. Rev.Mod. Physics, 37, N3, 409, 418 (1965).

3. Р. Далиц. Странные частицы и сильные взаимодействия. §56, ИЛ, Москва, 1964.
4. J. Lang, R. Müller, W. Wölfli et al. Nucl.Phys., 88, 576 (1966).

Рукопись поступила в издательский отдел  
2 марта 1971 года.